



JANUAR 2024

KARAKTERISTIČNE GRADBENO-FIZIKALNE VREDNOSTI

# Schöck Isokorb® CXT



Nosilni toplotnoizolacijski elementi za učinkovito zmanjšanje toplotnih mostov na konzolnih gradbenih elementih, kot so balkoni, vhodni hodniki in atike.



# **Zaščita pred udarnim zvokom**

## Karakteristične vrednosti udarnega zvoka (novi preizkusni postopek po EAD)

### Nov standardiziran preizkusni postopek po (sprejetem) EAD 01.

Čeprav obstajajo zahteve gradbenih organov in zasebnopravne zahteve za izolacijo balkonov in vhodnih hodnikov pred udarnim zvokom, do sedaj ni konkretnega standarda o preizkušanju, s katerim bi ugotavljali izolativnost udarnega zvoka toplotnoizolacijskih balkonskih priključnih elementov z ustreznim preizkuševališčem in merilno opremo.

Z začetkom leta 2022 je s predelano in sprejeto različico 050001-01-0301 EAD za balkonske priključne elemente prvič na voljo podrobno opisan standardni preizkusni postopek za merjenje karakterističnih vrednosti udarnega zvoka teh elementov. Z novim preizkusnim postopkom po EAD (evropskem ocenjevalnem dokumentu) je prvič možno zanesljivo primerjati karakteristične vrednosti udarnega zvoka različnih tipov in proizvajalcev. Karakteristične vrednosti udarnega zvoka hkrati služijo kot zanesljive vhodne vrednosti za računsko napovedovanje zaščite pred udarnim zvokom balkonov in vhodnih hodnikov v fazi projektiranja.

### Bistvene izboljšave novega preizkusnega postopka po EAD 01 (sprejetem) v primerjavi z dosedanjimi EAD

- Premišljeno gradbeno-akustično preciziranje preizkuševališča in merilne opreme ter nadaljnje računske obdelave merilnih vrednosti
- »Togo« referenčno merjenje na istem preizkušancu (in ne več na dodatnem togem preizkuševališču)
- Nova karakteristična vrednost udarnega zvoka za balkonske priključne elemente: **Ovrednoteno zmanjšanje udarnega zvoka  $\Delta L_w$**  (namesto dosedanje ovrednotene razlike ravni udarnega zvoka  $\Delta L_{n,w}$ )
- Uporaba **referenčnega stropnega postopka po DIN EN ISO 717-2** pri računanju ovrednotenega zmanjšanja udarnega zvoka  $\Delta L_w$  (do sedaj je bila pri ovrednotenih razlikah ravni udarnega zvoka  $\Delta L_{n,w}$  uporabljena samo razlika posameznih številčnih vrednosti  $L_{n0,w}$  in  $L_{n,w}$  brez uporabe referenčnega stropnega postopka)
- Ovrednoteno zmanjšanje udarnega zvoka  $\Delta L_w$  balkonskega priključnega elementa se lahko uporablja po direktni analogiji z ovrednotenim zmanjšanjem udarnega zvoka zgornjih stropnih slojev kot **vhodna vrednost za prognostično računanje po DIN 4109-2 in DIN EN ISO 12354-2**.

### Primerljivost karakterističnih vrednosti udarnega zvoka, akustična enakovrednost

Z do podrobnosti določenim preizkusnim postopkom po novem EAD 01 (sprejetem) je prvič mogoče primerjati karakteristične vrednosti udarnega zvoka različnih balkonskih priključnih elementov tudi neodvisno od proizvajalcev – pod predpostavko, da so karakteristične vrednosti udarnega zvoka določene po EAD 01 (sprejetem). Zgolj karakteristične vrednosti po EAD 01 (sprejetem) dajejo zanesljive podatke o enakovrednosti balkonskih priključnih elementov glede na udarni zvok.

### Karakteristične vrednosti udarnega zvoka v razpisu

Za zagotovitev, da se uporabljajo balkonski priključni elementi s karakterističnimi vrednostmi udarnega zvoka po novem EAD 01 (sprejetem), je potrebno, da se v razpisu izrecno opozori na to, da naj se v razpisu navedene karakteristične vrednosti udarnega zvoka predstavijo v skladu z novim postopkom po EAD-01 (sprejetem), npr. z uporabo naslednjega besedila:

- »Ovrednoteno zmanjšanje udarnega zvoka  $\Delta L_w$  po EAD 050001-01-0301 (sprejetem): ... dB«

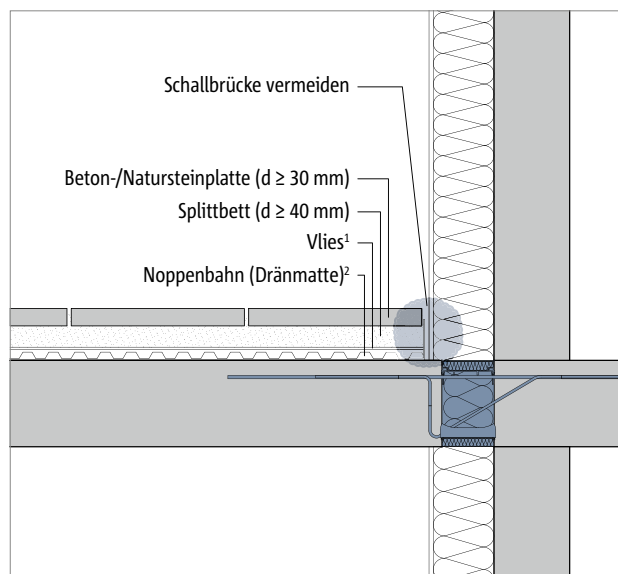
## Karakteristične vrednosti udarnega zvoka pri kombinaciji Schöck Isokorb® in obloge

### Dodatna obloga za izolacijo udarnega zvoka

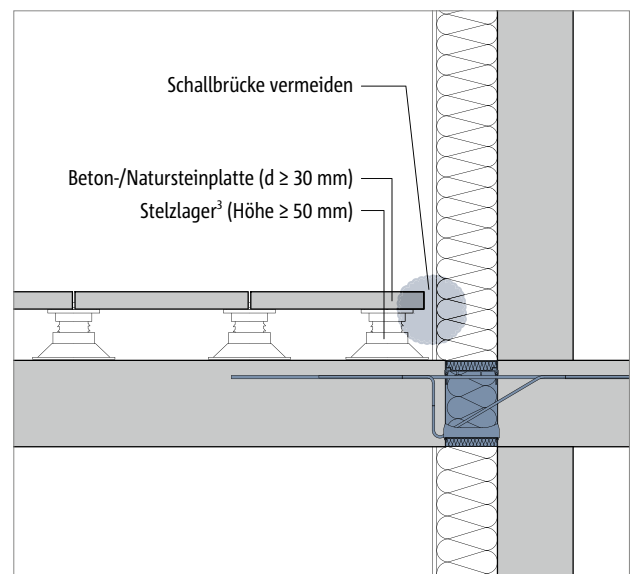
Če je za zadovoljitev zahtev udarnega zvoka potrebna dodatna zvočno izolacijska obloga na ploščah balkona, lože ali vhodnega hodnika, se lahko vrednostim zmanjšanja udarnega zvoka Schöck Isokorb®  $\Delta L_{\text{Isokorb}}$  z upoštevanjem frekvenc prištejejo vrednosti zmanjšanja udarnega zvoka obloge  $\Delta L_{\text{obloga}}$ . Posamezna številčna vrednost ovrednotenega zmanjšanja udarnega zvoka  $\Delta L_{\text{w,celot}}$  celotnega sistema »Schöck Isokorb® + obloga« se dobi iz prišteti vrednosti zmanjšanja udarnega zvoka  $\Delta L_{\text{celot}} = \Delta L_{\text{obloga}} + \Delta L_{\text{Isokorb}}$  z uporabo referenčnega stropnega postopka po ÖNORM EN ISO 717-2.

### Balkonske obloge, merjene po DIN EN ISO 10140-1, na preizkuševališču zgornjih stropnih slojev

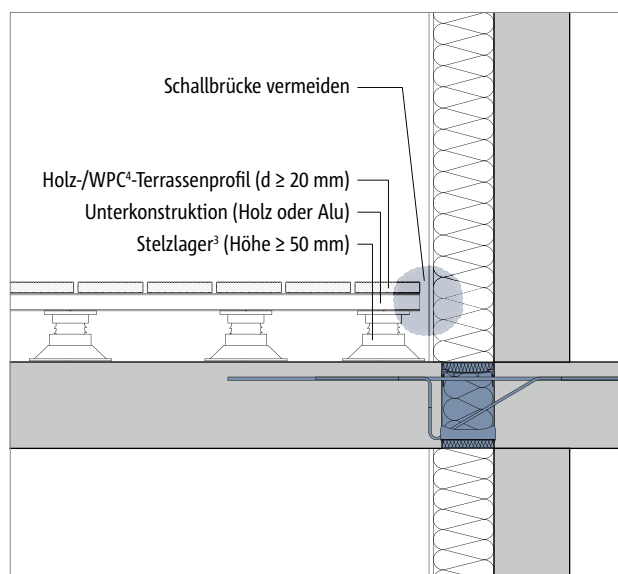
Za običajne balkonske obloge (glejte naslednje slike) so bile meritve zmanjšanja udarnega zvoka  $\Delta L_{\text{obloga}}$  izvedene na preizkuševališču zgornjih stropnih slojev po DIN EN ISO 10140-1:2016 („Merjenje zvočne izolativnosti gradbenih elementov na preizkuševališču – 1. del: Pravila uporabe za določene proizvode«). Tako ugotovljene vrednosti (odvisne od frekvence) zmanjšanja udarnega zvoka  $\Delta L_{\text{obloga}}$  so bile po zgoraj opisanem postopku prištete z upoštevanjem frekvence pripadajočim zmanjšanjem udarnega zvoka  $\Delta L_{\text{Isokorb}}$ , nakar je bilo določeno ovrednoteno zmanjšanje udarnega zvoka  $\Delta L_{\text{w,celot}}$  celotnega sistema Schöck Isokorb® + obloga.



Sl. 1: Balkonska obloga s ploščami iz betona/naravnega kamna, posteljico iz drobljenca, kopreno in bradavičastim trakom (drenažno podlogo)



Sl. 2: Balkonska obloga s ploščami iz betona/naravnega kamna in ležajnimi nogami



Sl. 3: Balkonska obloga z lesenimi/WPC terasnimi profili, podkonstrukcijo (les, aluminij) in ležajnimi nogami

#### Info

- 1) Potrebno (drobljenec ne sme priti med bradavice)
- 2) Iz PE-plastike (višina bradavic  $\geq 8$  mm)
- 3) Standardne ležajne noge iz plastike (brez dodatnega elastičnega sloja)
- 4) Masiven ali z votlimi celicami

## Schöck Isokorb® CXT tip KL

| CXT tip KL 1.1 | M1-V1   | M1-V2             | M2-V1 | M2-V2 | M3-V1 | M3-V2 | M3-VV1 | M4-V1 | M4-V2 | M4-V3 | M4-VV1 |      |
|----------------|---------|-------------------|-------|-------|-------|-------|--------|-------|-------|-------|--------|------|
| H [mm]         | Zgradba | $\Delta L_w$ [dB] |       |       |       |       |        |       |       |       |        |      |
| 160–170        | brez    | 12,5              | 13,8  | 12,4  | 13,3  | 11,9  | 13,3   | 8,9   | 11,7  | 12,5  | 8,7    | 8,7  |
|                | A       | 19,5              | 20,8  | 19,8  | 20,7  | 19,8  | 21,2   | 16,8  | 20,2  | 21,0  | 17,2   | 17,2 |
|                | B       | 19,7              | 21,0  | 20,0  | 20,9  | 20,0  | 21,4   | 17,0  | 20,4  | 21,2  | 17,4   | 17,4 |
|                | C       | 17,4              | 18,7  | 17,7  | 18,6  | 17,7  | 19,1   | 14,7  | 18,1  | 18,9  | 15,1   | 15,1 |
| 180–190        | brez    | 13,5              | 14,8  | 13,4  | 14,3  | 12,9  | 14,3   | 9,9   | 12,7  | 13,5  | 9,7    | 9,7  |
|                | A       | 20,5              | 21,8  | 20,8  | 21,7  | 20,8  | 22,2   | 17,8  | 21,2  | 22,0  | 18,2   | 18,2 |
|                | B       | 20,7              | 22,0  | 21,0  | 21,9  | 21,0  | 22,4   | 18,0  | 21,4  | 22,2  | 18,4   | 18,4 |
|                | C       | 18,4              | 19,7  | 18,7  | 19,6  | 18,7  | 20,1   | 15,7  | 19,1  | 19,9  | 16,1   | 16,1 |
| 200–210        | brez    | 13,5              | 14,8  | 13,4  | 14,3  | 12,9  | 14,3   | 9,9   | 12,7  | 13,5  | 10,7   | 9,7  |
|                | A       | 20,5              | 21,8  | 20,8  | 21,7  | 20,8  | 22,2   | 17,8  | 21,2  | 22,0  | 19,2   | 18,2 |
|                | B       | 20,7              | 22,0  | 21,0  | 21,9  | 21,0  | 22,4   | 18,0  | 21,4  | 22,2  | 19,4   | 18,4 |
|                | C       | 18,4              | 19,7  | 18,7  | 19,6  | 18,7  | 20,1   | 15,7  | 19,1  | 19,9  | 17,1   | 16,1 |
| 220–230        | brez    | 14,5              | 15,3  | 14,4  | 14,8  | 13,9  | 14,8   | 10,9  | 13,7  | 14,0  | 11,7   | 10,7 |
|                | A       | 21,5              | 22,3  | 21,8  | 22,2  | 21,8  | 22,7   | 18,8  | 22,2  | 22,5  | 20,2   | 19,2 |
|                | B       | 21,7              | 22,5  | 22,0  | 22,4  | 22,0  | 22,9   | 19,0  | 22,4  | 22,7  | 20,4   | 19,4 |
|                | C       | 19,4              | 20,2  | 19,7  | 20,1  | 19,7  | 20,6   | 16,7  | 20,1  | 20,4  | 18,1   | 17,1 |
| 240–250        | brez    | 14,5              | 15,8  | 14,5  | 15,3  | 14,4  | 15,3   | 11,4  | 14,2  | 14,5  | 12,2   | 11,2 |
|                | A       | 21,5              | 22,8  | 21,9  | 22,7  | 22,3  | 23,2   | 19,3  | 22,7  | 23,0  | 20,7   | 19,7 |
|                | B       | 21,7              | 23,0  | 22,1  | 22,9  | 22,5  | 23,4   | 19,5  | 22,9  | 23,2  | 20,9   | 19,9 |
|                | C       | 19,4              | 20,7  | 19,8  | 20,6  | 20,2  | 21,1   | 17,2  | 20,6  | 20,9  | 18,6   | 17,6 |

- $\Delta L_w$  Ovrednoteno zmanjšanje udarnega zvoka po preizkusnem postopku novega EAD 01 (sprejetega)
- Obloga A: s ploščami iz betona/naravnega kamna, posteljico iz drobljenca, kopreno in bradavičastim trakom (drenažno podlogo)  
Obloga B: s ploščami iz betona/naravnega kamna in ležajnimi nogami  
Obloga C: z lesenimi/WPC-terasnimi profili, podkonstrukcijo (les ali aluminij) in ležajnimi nogami

### **i** Barvno poudarjene vrednosti

Vrednosti so izmerjene po novem postopku po EAD-01 (sprejeti različici). Vse ostale vrednosti so bile izračunane po 3D-FE postopku, razvitem na HfT Stuttgart, na virtualno postavljenem preizkušancu po postopku EAD-01 (sprejeti različici).

## Schöck Isokorb® CXT tip KL

| CXT tip KL 1.1 | M5-V1   | M5-V2             | M5-V3 | M5-VV1 | M6-V1 | M6-V2 | M6-V3 | M6-VV1 | M7-V1 | M7-V2 | M7-VV1 |      |
|----------------|---------|-------------------|-------|--------|-------|-------|-------|--------|-------|-------|--------|------|
| H [mm]         | Zgradba | $\Delta L_w$ [dB] |       |        |       |       |       |        |       |       |        |      |
| 160–170        | brez    | 11,4              | 11,6  | 8,4    | 8,4   | 10,9  | 10,5  | 7,9    | 7,9   | 9,2   | 10,0   | 6,2  |
|                | A       | 21,6              | 21,8  | 18,6   | 18,6  | 21,4  | 21,0  | 18,4   | 18,4  | 20,2  | 21,0   | 17,2 |
|                | B       | 20,9              | 21,1  | 17,9   | 17,9  | 21,0  | 20,6  | 18,0   | 18,0  | 20,0  | 20,8   | 17,0 |
|                | C       | 19,4              | 19,6  | 16,4   | 16,4  | 19,2  | 18,8  | 16,2   | 16,2  | 17,8  | 18,6   | 14,8 |
| 180–190        | brez    | 12,4              | 12,6  | 9,4    | 9,4   | 11,9  | 11,5  | 8,9    | 8,9   | 10,2  | 11,0   | 7,2  |
|                | A       | 22,6              | 22,8  | 19,6   | 19,6  | 22,4  | 22,0  | 19,4   | 19,4  | 21,2  | 22,0   | 18,2 |
|                | B       | 21,9              | 22,1  | 18,9   | 18,9  | 22,0  | 21,6  | 19,0   | 19,0  | 21,0  | 21,8   | 18,0 |
|                | C       | 20,4              | 20,6  | 17,4   | 17,4  | 20,2  | 19,8  | 17,2   | 17,2  | 18,8  | 19,6   | 15,8 |
| 200–210        | brez    | 12,4              | 12,6  | 10,4   | 9,4   | 11,9  | 11,5  | 9,9    | 8,9   | 10,2  | 11,0   | 7,2  |
|                | A       | 22,6              | 22,8  | 20,6   | 19,6  | 22,4  | 22,0  | 20,4   | 19,4  | 21,2  | 22,0   | 18,2 |
|                | B       | 21,9              | 22,1  | 19,9   | 18,9  | 22,0  | 21,6  | 20,0   | 19,0  | 21,0  | 21,8   | 18,0 |
|                | C       | 20,4              | 20,6  | 18,4   | 17,4  | 20,2  | 19,8  | 18,2   | 17,2  | 18,8  | 19,6   | 15,8 |
| 220–230        | brez    | 13,4              | 13,1  | 11,4   | 10,4  | 12,9  | 12,0  | 10,9   | 9,9   | 11,2  | 11,5   | 8,2  |
|                | A       | 23,6              | 23,3  | 21,6   | 20,6  | 23,4  | 22,5  | 21,4   | 20,4  | 22,2  | 22,5   | 19,2 |
|                | B       | 22,9              | 22,6  | 20,9   | 19,9  | 23,0  | 22,1  | 21,0   | 20,0  | 22,0  | 22,3   | 19,0 |
|                | C       | 21,4              | 21,1  | 19,4   | 18,4  | 21,2  | 20,3  | 19,2   | 18,2  | 19,8  | 20,1   | 16,8 |
| 240–250        | brez    | 13,9              | 13,6  | 11,9   | 10,9  | 13,4  | 12,5  | 11,4   | 10,4  | 11,7  | 12,0   | 8,7  |
|                | A       | 24,1              | 23,8  | 22,1   | 21,1  | 23,9  | 23,0  | 21,9   | 20,9  | 22,7  | 23,0   | 19,7 |
|                | B       | 23,4              | 23,1  | 21,4   | 20,4  | 23,5  | 22,6  | 21,5   | 20,5  | 22,5  | 22,8   | 19,5 |
|                | C       | 21,9              | 21,6  | 19,9   | 18,9  | 21,7  | 20,8  | 19,7   | 18,7  | 20,3  | 20,6   | 17,3 |

- $\Delta L_w$  Ovrednoteno zmanjšanje udarnega zvoka po preizkusnem postopku novega EAD 01 (sprejetega)
- Obloga A: s ploščami iz betona/naravnega kamna, posteljico iz drobljenca, kopreno in bradavičastim trakom (drenažno podlogo)  
Obloga B: s ploščami iz betona/naravnega kamna in ležajnimi nogami  
Obloga C: z lesenimi/WPC-terasnimi profili, podkonstrukcijo (les ali aluminij) in ležajnimi nogami

### **i** Barvno poudarjene vrednosti

Vrednosti so izmerjene po novem postopku po EAD-01 (sprejeti različici). Vse ostale vrednosti so bile izračunane po 3D-FE postopku, razvitem na HfT Stuttgart, na virtualno postavljenem preizkušancu po postopku EAD-01 (sprejeti različici).

## Schöck Isokorb® CXT tip KL

| CXT tip KL 1.1 |         | M8-V1             | M8-V2 | M9-V1 | M9-V2 |
|----------------|---------|-------------------|-------|-------|-------|
| H [mm]         | Zgradba | $\Delta L_w$ [dB] |       |       |       |
| 160–170        | brez    | 8,4               | 9,0   | 7,3   | 8,5   |
|                | A       | 19,9              | 20,5  | 19,2  | 20,4  |
|                | B       | 19,6              | 20,2  | 18,7  | 19,9  |
|                | C       | 17,5              | 18,1  | 16,8  | 18,0  |
| 180–190        | brez    | 9,4               | 10,0  | 8,3   | 9,5   |
|                | A       | 20,9              | 21,5  | 20,2  | 21,4  |
|                | B       | 20,6              | 21,2  | 19,7  | 20,9  |
|                | C       | 18,5              | 19,1  | 17,8  | 19,0  |
| 200–210        | brez    | 9,4               | 10,0  | 8,3   | 9,5   |
|                | A       | 20,9              | 21,5  | 20,2  | 21,4  |
|                | B       | 20,6              | 21,2  | 19,7  | 20,9  |
|                | C       | 18,5              | 19,1  | 17,8  | 19,0  |
| 220–230        | brez    | 10,4              | 10,5  | 9,3   | 10,0  |
|                | A       | 21,9              | 22,0  | 21,2  | 21,9  |
|                | B       | 21,6              | 21,7  | 20,7  | 21,4  |
|                | C       | 19,5              | 19,6  | 18,8  | 19,5  |
| 240–250        | brez    | 10,9              | 11,0  | 9,8   | 10,5  |
|                | A       | 22,4              | 22,5  | 21,7  | 22,4  |
|                | B       | 22,1              | 22,2  | 21,2  | 21,9  |
|                | C       | 20,0              | 20,1  | 19,3  | 20,0  |

- $\Delta L_w$  Ovrednoteno zmanjšanje udarnega zvoka po preizkusnem postopku novega EAD 01 (sprejetega)
- Obloga A: s ploščami iz betona/naravnega kamna, posteljico iz drobljenca, kopreno in bradavičastim trakom (drenažno podlogo)  
Obloga B: s ploščami iz betona/naravnega kamna in ležajnimi nogami  
Obloga C: z lesenimi/WPC-terasnimi profili, podkonstrukcijo (les ali aluminij) in ležajnimi nogami

### **i** Barvno poudarjene vrednosti

Vrednosti so izmerjene po novem postopku po EAD-01 (sprejeti različici). Vse ostale vrednosti so bile izračunane po 3D-FE postopku, razvitem na HfT Stuttgart, na virtualno postavljenem preizkušancu po postopku EAD-01 (sprejeti različici).



# Toplotna zaščita

## Schöck Isokorb® CXT tip KL

| CXT tip KL 1.1 | M1-V1  |          | M1-V2          |          | M2-V1          |          | M2-V2          |          | M3-V1          |          |
|----------------|--------|----------|----------------|----------|----------------|----------|----------------|----------|----------------|----------|
|                | H [mm] | $R_{eq}$ | $\lambda_{eq}$ | $R_{eq}$ | $\lambda_{eq}$ | $R_{eq}$ | $\lambda_{eq}$ | $R_{eq}$ | $\lambda_{eq}$ | $R_{eq}$ |
| 160            | 1,429  | 0,084    | 1,319          | 0,091    | 1,319          | 0,091    | 1,224          | 0,098    | 1,154          | 0,104    |
| 170            | 1,481  | 0,081    | 1,379          | 0,087    | 1,379          | 0,087    | 1,277          | 0,094    | 1,212          | 0,099    |
| 180            | 1,519  | 0,079    | 1,429          | 0,084    | 1,429          | 0,084    | 1,333          | 0,090    | 1,263          | 0,095    |
| 190            | 1,579  | 0,076    | 1,481          | 0,081    | 1,481          | 0,081    | 1,379          | 0,087    | 1,304          | 0,092    |
| 200            | 1,622  | 0,074    | 1,500          | 0,080    | 1,519          | 0,079    | 1,429          | 0,084    | 1,348          | 0,089    |
| 210            | 1,667  | 0,072    | 1,558          | 0,077    | 1,558          | 0,077    | 1,481          | 0,081    | 1,395          | 0,086    |
| 220            | 1,714  | 0,070    | 1,600          | 0,075    | 1,600          | 0,075    | 1,500          | 0,080    | 1,446          | 0,083    |
| 230            | 1,765  | 0,068    | 1,644          | 0,073    | 1,644          | 0,073    | 1,538          | 0,078    | 1,481          | 0,081    |
| 240            | 1,791  | 0,067    | 1,690          | 0,071    | 1,690          | 0,071    | 1,579          | 0,076    | 1,500          | 0,080    |
| 250            | 1,846  | 0,065    | 1,714          | 0,070    | 1,739          | 0,069    | 1,622          | 0,074    | 1,538          | 0,078    |

| CXT tip KL 1.1 | M3-V2  |          | M3-VV1         |          | M4-V1          |          | M4-V2          |          | M4-V3          |          |
|----------------|--------|----------|----------------|----------|----------------|----------|----------------|----------|----------------|----------|
|                | H [mm] | $R_{eq}$ | $\lambda_{eq}$ | $R_{eq}$ | $\lambda_{eq}$ | $R_{eq}$ | $\lambda_{eq}$ | $R_{eq}$ | $\lambda_{eq}$ | $R_{eq}$ |
| 160            | 1,053  | 0,114    | 0,816          | 0,147    | 1,071          | 0,112    | 1,000          | 0,120    | 0,816          | 0,147    |
| 170            | 1,091  | 0,110    | 0,851          | 0,141    | 1,121          | 0,107    | 1,053          | 0,114    | 0,851          | 0,141    |
| 180            | 1,143  | 0,105    | 0,889          | 0,135    | 1,165          | 0,103    | 1,081          | 0,111    | 0,889          | 0,135    |
| 190            | 1,188  | 0,101    | 0,930          | 0,129    | 1,212          | 0,099    | 1,132          | 0,106    | 0,930          | 0,129    |
| 200            | 1,224  | 0,098    | 0,968          | 0,124    | 1,263          | 0,095    | 1,165          | 0,103    | 0,968          | 0,124    |
| 210            | 1,277  | 0,094    | 1,008          | 0,119    | 1,304          | 0,092    | 1,212          | 0,099    | 1,008          | 0,119    |
| 220            | 1,319  | 0,091    | 1,043          | 0,115    | 1,348          | 0,089    | 1,250          | 0,096    | 1,043          | 0,115    |
| 230            | 1,348  | 0,089    | 1,071          | 0,112    | 1,379          | 0,087    | 1,290          | 0,093    | 1,071          | 0,112    |
| 240            | 1,395  | 0,086    | 1,101          | 0,109    | 1,429          | 0,084    | 1,333          | 0,090    | 1,101          | 0,109    |
| 250            | 1,429  | 0,084    | 1,132          | 0,106    | 1,463          | 0,082    | 1,364          | 0,088    | 1,132          | 0,106    |

| CXT tip KL 1.1 | M4-VV1 |          | M5-V1          |          | M5-V2          |          | M5-V3          |          | M5-VV1         |          |
|----------------|--------|----------|----------------|----------|----------------|----------|----------------|----------|----------------|----------|
|                | H [mm] | $R_{eq}$ | $\lambda_{eq}$ | $R_{eq}$ | $\lambda_{eq}$ | $R_{eq}$ | $\lambda_{eq}$ | $R_{eq}$ | $\lambda_{eq}$ | $R_{eq}$ |
| 160            | 0,811  | 0,148    | 1,000          | 0,120    | 0,930          | 0,129    | 0,682          | 0,176    | 0,678          | 0,177    |
| 170            | 0,845  | 0,142    | 1,043          | 0,115    | 0,976          | 0,123    | 0,714          | 0,168    | 0,714          | 0,168    |
| 180            | 0,889  | 0,135    | 1,081          | 0,111    | 1,017          | 0,118    | 0,750          | 0,160    | 0,750          | 0,160    |
| 190            | 0,923  | 0,130    | 1,132          | 0,106    | 1,062          | 0,113    | 0,784          | 0,153    | 0,784          | 0,153    |
| 200            | 0,960  | 0,125    | 1,165          | 0,103    | 1,091          | 0,110    | 0,822          | 0,146    | 0,816          | 0,147    |
| 210            | 1,000  | 0,120    | 1,212          | 0,099    | 1,132          | 0,106    | 0,845          | 0,142    | 0,845          | 0,142    |
| 220            | 1,034  | 0,116    | 1,250          | 0,096    | 1,176          | 0,102    | 0,876          | 0,137    | 0,876          | 0,137    |
| 230            | 1,062  | 0,113    | 1,290          | 0,093    | 1,212          | 0,099    | 0,909          | 0,132    | 0,909          | 0,132    |
| 240            | 1,091  | 0,110    | 1,333          | 0,090    | 1,250          | 0,096    | 0,938          | 0,128    | 0,938          | 0,128    |
| 250            | 1,132  | 0,106    | 1,364          | 0,088    | 1,277          | 0,094    | 0,968          | 0,124    | 0,968          | 0,124    |

- $R_{eq}$  Ekvivalentni toplotni upor v  $m^2 \cdot K/W$
- $\lambda_{eq}$  Ekvivalentna toplotna prevodnost v  $W/(m \cdot K)$
- Vrednosti določene skladno z EAD (European Assessment Document): EAD 050001-00-0301 (2018/C 090/04)

## Schöck Isokorb® CXT tip KL

| CXT tip KL 1.1 | M6-V1    |                | M6-V2    |                | M6-V3    |                | M6-VV1   |                | M7-V1    |                |
|----------------|----------|----------------|----------|----------------|----------|----------------|----------|----------------|----------|----------------|
|                | $R_{eq}$ | $\lambda_{eq}$ | $R_{eq}$ | $\lambda_{eq}$ | $R_{eq}$ | $\lambda_{eq}$ | $R_{eq}$ | $\lambda_{eq}$ | $R_{eq}$ | $\lambda_{eq}$ |
| 160            | 0,938    | 0,128          | 0,876    | 0,137          | 0,656    | 0,183          | 0,652    | 0,184          | 0,706    | 0,170          |
| 170            | 0,984    | 0,122          | 0,923    | 0,130          | 0,686    | 0,175          | 0,682    | 0,176          | 0,741    | 0,162          |
| 180            | 1,026    | 0,117          | 0,960    | 0,125          | 0,719    | 0,167          | 0,714    | 0,168          | 0,779    | 0,154          |
| 190            | 1,062    | 0,113          | 1,000    | 0,120          | 0,755    | 0,159          | 0,750    | 0,160          | 0,816    | 0,147          |
| 200            | 1,101    | 0,109          | 1,043    | 0,115          | 0,784    | 0,153          | 0,779    | 0,154          | 0,845    | 0,142          |
| 210            | 1,143    | 0,105          | 1,071    | 0,112          | 0,816    | 0,147          | 0,811    | 0,148          | 0,876    | 0,137          |
| 220            | 1,176    | 0,102          | 1,111    | 0,108          | 0,845    | 0,142          | 0,839    | 0,143          | 0,909    | 0,132          |
| 230            | 1,212    | 0,099          | 1,143    | 0,105          | 0,876    | 0,137          | 0,870    | 0,138          | 0,945    | 0,127          |
| 240            | 1,250    | 0,096          | 1,176    | 0,102          | 0,902    | 0,133          | 0,902    | 0,133          | 0,976    | 0,123          |
| 250            | 1,290    | 0,093          | 1,212    | 0,099          | 0,930    | 0,129          | 0,930    | 0,129          | 1,008    | 0,119          |

| CXT tip KL 1.1 | M7-V2    |                | M7-VV1   |                | M8-V1    |                | M8-V2    |                | M9-V1    |                | M9-V2    |                |
|----------------|----------|----------------|----------|----------------|----------|----------------|----------|----------------|----------|----------------|----------|----------------|
|                | $R_{eq}$ | $\lambda_{eq}$ | $R_{eq}$ | $\lambda_{eq}$ | $R_{eq}$ | $\lambda_{eq}$ | $R_{eq}$ | $\lambda_{eq}$ | $R_{eq}$ | $\lambda_{eq}$ | $R_{eq}$ | $\lambda_{eq}$ |
| 160            | 0,674    | 0,178          | 0,645    | 0,186          | 0,663    | 0,181          | 0,635    | 0,189          | 0,569    | 0,211          | 0,558    | 0,215          |
| 170            | 0,710    | 0,169          | 0,674    | 0,178          | 0,694    | 0,173          | 0,667    | 0,180          | 0,597    | 0,201          | 0,585    | 0,205          |
| 180            | 0,745    | 0,161          | 0,710    | 0,169          | 0,727    | 0,165          | 0,698    | 0,172          | 0,625    | 0,192          | 0,615    | 0,195          |
| 190            | 0,779    | 0,154          | 0,741    | 0,162          | 0,759    | 0,158          | 0,732    | 0,164          | 0,656    | 0,183          | 0,645    | 0,186          |
| 200            | 0,811    | 0,148          | 0,774    | 0,155          | 0,795    | 0,151          | 0,759    | 0,158          | 0,682    | 0,176          | 0,674    | 0,178          |
| 210            | 0,839    | 0,143          | 0,805    | 0,149          | 0,822    | 0,146          | 0,795    | 0,151          | 0,710    | 0,169          | 0,698    | 0,172          |
| 220            | 0,870    | 0,138          | 0,833    | 0,144          | 0,851    | 0,141          | 0,822    | 0,146          | 0,741    | 0,162          | 0,727    | 0,165          |
| 230            | 0,902    | 0,133          | 0,863    | 0,139          | 0,882    | 0,136          | 0,845    | 0,142          | 0,764    | 0,157          | 0,755    | 0,159          |
| 240            | 0,930    | 0,129          | 0,889    | 0,135          | 0,916    | 0,131          | 0,876    | 0,137          | 0,795    | 0,151          | 0,779    | 0,154          |
| 250            | 0,960    | 0,125          | 0,923    | 0,130          | 0,945    | 0,127          | 0,909    | 0,132          | 0,822    | 0,146          | 0,805    | 0,149          |

- $R_{eq}$     Ekvivalentni toplotni upor v  $m^2 \cdot K/W$
- $\lambda_{eq}$     Ekvivalentna toplotna prevodnost v  $W/(m \cdot K)$
- Vrednosti določene skladno z EAD (European Assessment Document): EAD 050001-00-0301 (2018/C 090/04)

## Schöck Isokorb® CXT tip AP

| CXT tip AP 1.0<br>B [mm] | MM1-VV1  |                | Part Z   |                |
|--------------------------|----------|----------------|----------|----------------|
|                          | $R_{eq}$ | $\lambda_{eq}$ | $R_{eq}$ | $\lambda_{eq}$ |
| 150                      | 0,620    | 0,193          | 1,462    | 0,082          |
| 160                      | 0,654    | 0,184          | 1,521    | 0,079          |
| 170                      | 0,688    | 0,174          | 1,576    | 0,076          |
| 180                      | 0,721    | 0,166          | 1,629    | 0,074          |
| 190                      | 0,754    | 0,159          | 1,680    | 0,071          |
| 200                      | 0,786    | 0,153          | 1,728    | 0,069          |
| 210                      | 0,817    | 0,147          | 1,774    | 0,068          |
| 220                      | 0,848    | 0,141          | 1,818    | 0,066          |
| 230                      | 0,878    | 0,137          | 1,859    | 0,065          |
| 240                      | 0,908    | 0,132          | 1,900    | 0,063          |
| 250                      | 0,937    | 0,128          | 1,938    | 0,062          |
| 260                      | 0,965    | 0,124          | 1,975    | 0,061          |
| 270                      | 0,993    | 0,121          | 2,011    | 0,060          |
| 280                      | 1,020    | 0,118          | 2,045    | 0,059          |

- $R_{eq}$     Ekvivalentni toplotni upor v  $m^2 \cdot K/W$
- $\lambda_{eq}$     Ekvivalentna toplotna prevodnost v  $W/(m \cdot K)$
- Vrednosti določene skladno z EAD (European Assessment Document): EAD 050001-00-0301 (2018/C 090/04)

**Impresum**

Izdajatelj: Schöck Bauteile Ges.m.b.H.  
Argentinierstraße 22/1/7  
1040 Wien  
Telefon: 0043 1 7865760

**Copyright:**

© 2024, Schöck Bauteile Ges.m.b.H.

Vsebine tega dokumenta, kot tudi posameznih izvlečkov, brez pisnega soglasja družbe Schöck Bauteile Ges.m.b.H. ni dovoljeno posredovati tretjim osebam. Vse tehnične navedbe, risbe itd. varuje Zakon o zaščiti avtorskih pravic.

Pridržujemo si pravico do tehničnih sprememb

Datum objave: Januar 2024



Schöck Bauteile Ges.m.b.H.  
Argentinierstraße 22/1/7  
1040 Wien  
Telefon: +386 31 807 077  
info-si@schoeck.com  
www.schoeck.com